



Artículo

Fotocatálisis de rosa altamente eficiente impulsada por luz visible Producción de hidrógeno y tinte bengalí utilizando Ag@Cu/TiO2 Nanocompuestos ternarios

Satish Yadav ¹, Asim Jilani ², Sarika Sachan y ¹, Pramod Kumar 1,*, Sajid Ali Ansari ³, Mohamed Afzal ⁴

Mohammad Omaish Ansari 2,*

- Laboratorio de Materiales Funcionales, Departamento de Química Prof. Rajendra Singh (Rajju Bhaiya), Instituto de Ciencias Físicas para el Estudio y la Investigación, Universidad Veer Bahadur Singh Purvanchal, Jaunpur 222003, Uttar Pradesh, India; sarikasachan27aug@gmail.com (SS)
- ² Centro de Nanotecnología, Universidad Rey Abdulaziz, Jeddah 21589, Arabia Saudita; asim.jilane@gmail.com Departamento de Física,
- Facultad de Ciencias, Universidad Rey Faisal, PO Box 400, Al-Ahsa 31982, Arabia Saudita; sansari@kfu.edu.sa
- Departamento de Ciencias Farmacéuticas, Programa de Farmacia, Batterjee Medical College, PO Box 6231, Jeddah 21442, Arabia Saudita; mohmmad.afzal@bmc.edu.sa
- * Correspondencia: pkchemistry.2009@gmail.com (PK); moansari@kau.edu.sa (MOA)

Resumen: En este trabajo, se sintetizó un nanocompuesto ternario Ag@Cu/TiO2 mediante una metodología química simple y posteriormente se estudió para la degradación fotocatalítica del tinte rosa de bengala (RB) bajo luz visible, así como su producción de hidrógeno. La forma, el tamaño y el análisis topográfico mediante microscopía electrónica de barrido y transmisión revelaron que todos los constituyentes están bien intercalados y se encuentran en el rango nanométrico. El análisis de rayos X de energía dispersiva del Ag@Cu/TiO2 mostró la presencia de Ti, O, Cu y Ag y la ausencia de otras impurezas, mientras que el análisis de mapeo mostró su distribución uniforme. La espectroscopia de fotones de rayos X también mostró una interacción exitosa entre los componentes. Además, se examinaron los cambios en el estado químico del Ti2p. Se encontró que la banda prohibida de Ag@Cu/TiO2 utilizando las relaciones gráficas Tauc era la más baja con 2,86 eV en comparación con TiO2 puro (3,28 eV), Ag/ TiO2 binario (3,13 eV) y Cu/TiO2 (3,00 eV). El Ag@Cu/TiO2 mostró la intensidad de fotoluminiscencia más baja, lo que sugiere la mayor eficiencia de degradación y la menor tasa de recombinación. La aplicación de Aq@Cu/TiO2 hacia la degradación fotocatalítica del tinte RB exhibió una tasa de degradación de ~81,07%, que supera la eficiencia del TiO2 puro en 3,31 veces. Aparte de esto, se encontró que la producción de ⁻¹, lo que sugiere que el cobre y la plata contribuyeron de manera sinérgica, lo que resultó en hidrógeno de Ag@Cu/TiO2 era de 17,1 µmol h-1 g, la mayor producción de hidrógeno de TiO2 puro .

Palabras clave: tinte rosa de bengala; región visible; degradación fotocatalítica; Nanocompuestos ternarios Ag@Cu/TiO2



Cita: Yadav, S.; Jilani, A.; Sachan,
S.; Kumar, P.; Ansari, SA; Afzal, M.;
Ansari, MO Fotocatálisis altamente
eficiente impulsada por luz visible de la producción
de hidrógeno y tinte rosa de Bengala
utilizando nanocompuestos ternarios
Ag@Cu/TiO2 . Química 2024, 6, 489–505.
https://doi.org/10.3390/chemistry6030028

Editores académicos: Gianguido Ramis, Vincenzo Vaiano y Olga Sacco

Recibido: 15 de abril de 2024 Revisado: 29 de mayo de 2024 Aceptado: 30 de mayo de 2024 Publicado: 20 de junio de 2024



4.0/)

Copyright: © 2024 por los autores.
Licenciatario MDPI, Basilea, Suiza.
Este artículo es un artículo de acceso abierto.
distribuido bajo los términos y
condiciones de los Creative Commons
Licencia de atribución (CC BY)
(https:// creativecommons.org/licenses/by/

1. Introducción

El agua es un elemento esencial para la supervivencia de la vida en la Tierra y está presente en la Tierra en forma de ríos, mares, lagos y aguas subterráneas. El rápido crecimiento de la población, el desarrollo, la Revolución Industrial y el cambio climático han contaminado todos los aspectos de los recursos hídricos [1]. Los principales contaminantes del agua son la curtiduría, el cuero, el caucho, los tintes, los cosméticos, los productos farmacéuticos alimentarios, las pinturas de imprenta, etc. [2,3]. Entre ellas, las industrias textil, farmacéutica, de pinturas para impresión y de tejidos vierten hasta un 17%-20% de tintes de colores en cuerpos de agua, lo que ha creado contaminación del agua [4]. Los tintes de colores sintéticos no son biodegradables y son altamente fotoestables [5]. El tinte inhibe la luz solar, disminuye la solubilidad del oxígeno molecular en el agua, lo que afecta la vida acuática de los organismos así como el ecosistema acuático, y tiene efectos tóxicos y cancerígenos a largo plazo para todos los estantes.

Entre los tintes orgánicos más utilizados se encuentra el tinte rosa de bengala (RB), que se utiliza en las industrias fotoquímica textil, gráfica y cosmética. Debe retirarse del agua ya que provoca picazón, enrojecimiento, inflamación, irritación y ampollas al entrar en contacto directo con la piel. Recientemente se han utilizado diferentes métodos, incluida la filtración por membrana, la coagulación, la floculación y la adsorción, para degradar la contaminación por tintes [6-8]. Sin embargo, todos estos métodos tienen limitaciones, incluyendo efluentes, desarrollo de lodos y dificultad para reactivar el adsorbente. La fotocatálisis es uno de los métodos más comunes y rentables para descomponer los tintes RB del agua utilizando nanocatalizadores eficientes [Sta fotocatálisis de luz visible es un proceso que utiliza la energía de la luz visible para iniciar una reacción química. Implica el uso de un fotocatalizador, que puede absorber luz en el espectro visible y promover la conversión de reactivos en el producto deseado [10].

Recientemente, esta técnica ha despertado mucho interés debido a su respeto al medio

Recientemente, esta técnica ha despertado mucho interés debido a su respeto al medio ambiente, versatilidad, selectividad, eficiencia, rentabilidad y sostenibilidad, que la hacen altamente aplicable para un gran número de usos.

Las nanopartículas muestran propiedades diferentes a las de los materiales a granel o especies moleculares o átomos de los que se derivan debido a la alta relación de volumen superficial [11]. Los diversos tipos de nanopartículas de metales de transición [12], óxidos de metales de transición y calcogenuros se utilizan para diversas aplicaciones, como almacenamiento de energía, almacenamiento de datos magnéticos, sensores y ferrofluidos, y degradación fotocatalítica de tintes orgánicos. Las nanopartículas, en particular las nanopartículas de óxidos metálicos, se utilizan ampliamente en el campo de la fotocatálisis de luz visible. Estas nanopartículas tienen propiedades únicas que las hacen efectivas en la fotocatálisis para diversas reacciones. Por ejemplo, las nanopartículas de óxido metálico como el óxido de titanio (TiO2) [13], el óxido de zinc (ZnO) [14] y el óxido de tungsteno (WO3) [15] se han estudiado ampliamente por sus capacidades fotocatalíticas. Sin embargo, existen ciertos inconvenientes en el uso de nanopartículas para la fotocatálisis, como su alta banda prohibida y el requisito de que la banda prohibida del fotocatalizador debe coincidir con la energía de los fotones de luz visible para lograr una fotocatálisis de luz visible efectiva. Desafortunadamente, muchas nanopartículas de óxido metálico tienen una banda prohibida que corresponde a la luz ultravioleta (UV-Vis), lo que limita su actividad fotocatalítica en luz visible. Durante el proceso de fotocatálisis, las nanopartículas pueden aglomerarse, lo que da como resultado una disminución del área de superficie y una limitación de los sitios activos de reacción disponibles. Esta agregación puede ocurrir debido a varios factores, como una alta concentración. cambios de pH o la presencia de impurezas [16]. Para superar esta limitación, los investigadores han desarrollado varias estrategias, como el dopaje, la modificación de la superficie y la alteración de la banda prohibida, para activar nanopartículas de óxido metálico bajo iluminación con luz visible. Estas modificaciones permiten que las nanopartículas absorban una gama más amplia de luz, incluida la luz visible, mejorando así su eficiencia fotocatalítica [17]. Se han utilizado numerosos óxidos de metales de transición, como ZnO, TiO2, NiO y CuO, y calcogenuros metálicos, como ZnS y MoS2, para la eliminación de tintes coloreados, contaminantes industriales y residuos de agua farmacéutica [18-20]. El óxido de metal de transición más estudiado para la degradación fotocatalítica de contaminantes y colorantes es el TiO2, que tiene un fuerte poder oxidante, no es tóxico y es extremadamente estable frente a la corrosión foto y química. La fotocatálisis es un método prometedor porque es económico y respetuoso con el medio ambiente. El TiO2 tiene una banda prohibida de Varios estudios muestran la disminución de la banda prohibida del TiO2 por el dopaje de nuevos metales de transición como Cu, Ag, Au, Pt, Ni y Co, así como polianilina (PANI), polipirrol (PPY) y óxido de grafeno reducido, que se extiende el cambio espectral en la región visible y aumenta la actividad fotocatalítica del TiO2 [21]. Se ha demostrado que el azul de metilo (MB) y el naranja de metilo (MO) exhiben una degradación del 96,3% y del 97% bajo irradiación con luz UV-Vis utilizando TiO2 sintetizado mediante el método solvotérmico modificado. Lin et al. [22] demostraron la degradación fotocatalítica (UV-VIS) del 2-clorofenol tóxico mediante el uso de un catalizador de TiO2. De manera similar, Zhang et al. [23] investigaron el efecto fotoeléctrico y las propiedades fotocatalíticas del TiO2 dopándolo con nanopartículas de Ag para mejorar la degradación fotoeléctrica y fotocatalítica. Mingxuan Sun et al. [24] mostró una visibilidad mucho mejor

actividad fotocatalítica de la región, estabilidad fotoquímica y recombinación de carga baja de TiO2 dopado con CdS y CdS/MoS2.

Sobre la base de la discusión anterior, hemos sintetizado compuestos ternarios de Ag@Cu/TiO2 mediante el método solvotérmico in situ para la degradación fotocatalítica del tinte RB en la región visible de la luz. El compuesto ternario sintetizado Ag@Cu/TiO2 se caracterizó por sus características estructurales y morfológicas. Finalmente, se investigaron en profundidad la degradación fotocatalítica del tinte RB y el fenómeno de evolución de hidrógeno en la región visible .

Sección Experimental 2.1. Materiales y métodos

Isopropóxido de titanio (IV) (TIP) 97 % de Qualigens, sulfato de cobre (II) pentahidratado 99,5 % (CuSO4.5H2O) de Sisco Research Laboratories, nitrato de plata 99,8 % (AgNO3) de Sigma Aldrich, ácido ascórbico 99,7 % de Sisco Research Laboratories, borohidruro de sodio al 98 % (NaBH4) de Sisco Research Laboratories, ácido clorhídrico al 35 % (HCI) de Sisco Research Laboratories (Mumbai, India) y colorante rosa de bengala (RB) de Sigma Aldrich (St. Louis). , MO, EE. UU.) se utilizaron en este estudio. Se utilizó agua desionizada como medio de reacción para el procedimiento de síntesis.

Se utilizó microscopía electrónica de barrido por emisión de campo (JEOL, JSM-7600F, FESEM, Tokio, Japón) para estudiar la morfología de la superficie y las composiciones elementales. También se utilizó microscopía electrónica de transmisión (JEOL, JSM, ARM-200F, HRTEM, Tokio, Japón). El mapeo elemental se registró utilizando un espectroscopio de rayos X de dispersión de energía (EDS) de Oxford Instruments, Oxfordshire, Reino Unido, equipado con FESEM. Para la detección elemental, se utilizó espectroscopía de fotoelectrones de rayos X (XPS) (ESCALAB 250 de Thermo Fisher Scientific, Warrington, Reino Unido) en una fuente de rayos X monocromatizada Al Kα λ 1/4 1486.6 eV.

2.2. Síntesis de Ag@Cu/TiO2

La síntesis de Ag@Cu/TiO2 se realizó mediante la metodología solvotérmica. En este método, se dispersaron 6 ml de isopropanol en 86 ml de agua y se le agregaron gota a gota 6 ml de HCl. A la mezcla de isopropanol y ácido, se agregaron lentamente 5 ml de TIP y toda la mezcla se puso en condiciones de agitación a 80 °C durante 1 h, dando como resultado una solución coloidal blanca (denominada solución A). Esta solución coloidal blanca se sometió a centrifugación y posteriormente el TiO2 recolectado se lavó con un exceso de solventes (mezcla de agua y etanol) y finalmente se secó en una estufa de aire a 80 °C durante 6 h para obtener TiO2 puro. El Cu/TiO2 se preparó disolviendo 0,4 g de CuSO4,5H2O en 100 ml (para una carga de ~5% de Cu en TiO2) de agua y usando NaOH 0,05 M para mantener el pH en 12. A la solución anterior de CuSO4,5H2O, se mezclaron gota a gota 30 ml de ácido ascórbico 0,05 M y el resultado se calentó a 60 ∘C con agitación continua durante 1 h (Fig El color amarillo de la mezcla cambió lentamente a marrón, indicativo del Cu formado (la dispersión de Cu se denominó solución B). Finalmente, ambas soluciones (A y B) se mezclaron bajo agitación continua y el Cu/TiO2 resultante se sometió a centrifugación, se lavó con un exceso de disolventes (agua y etanol) y finalmente se secó a 80 °C durante 6 h para obtener Cu. /TiO2. El Ag@Cu/TiO2 se preparó preparando primero la solución coloidal de nanopartículas de Ag disolviendo 0,12 g de AgNO3 en 100 ml de H2O y luego se le agregaron gota a gota 30 ml de NaBH4 0,06 M. El compuesto binario Cu/TiO2 se añadió a la solución coloidal de Ag y toda la mezcla se agitó continuamente durante 2 h. Así, el compuesto Ag@Cu/TiO2 preparado se lavó con un exceso de disolventes (agua y etanol) y finalmente se secó a 80 °C durante 6 h para obtener Ag@Cu/TiO2 puro.

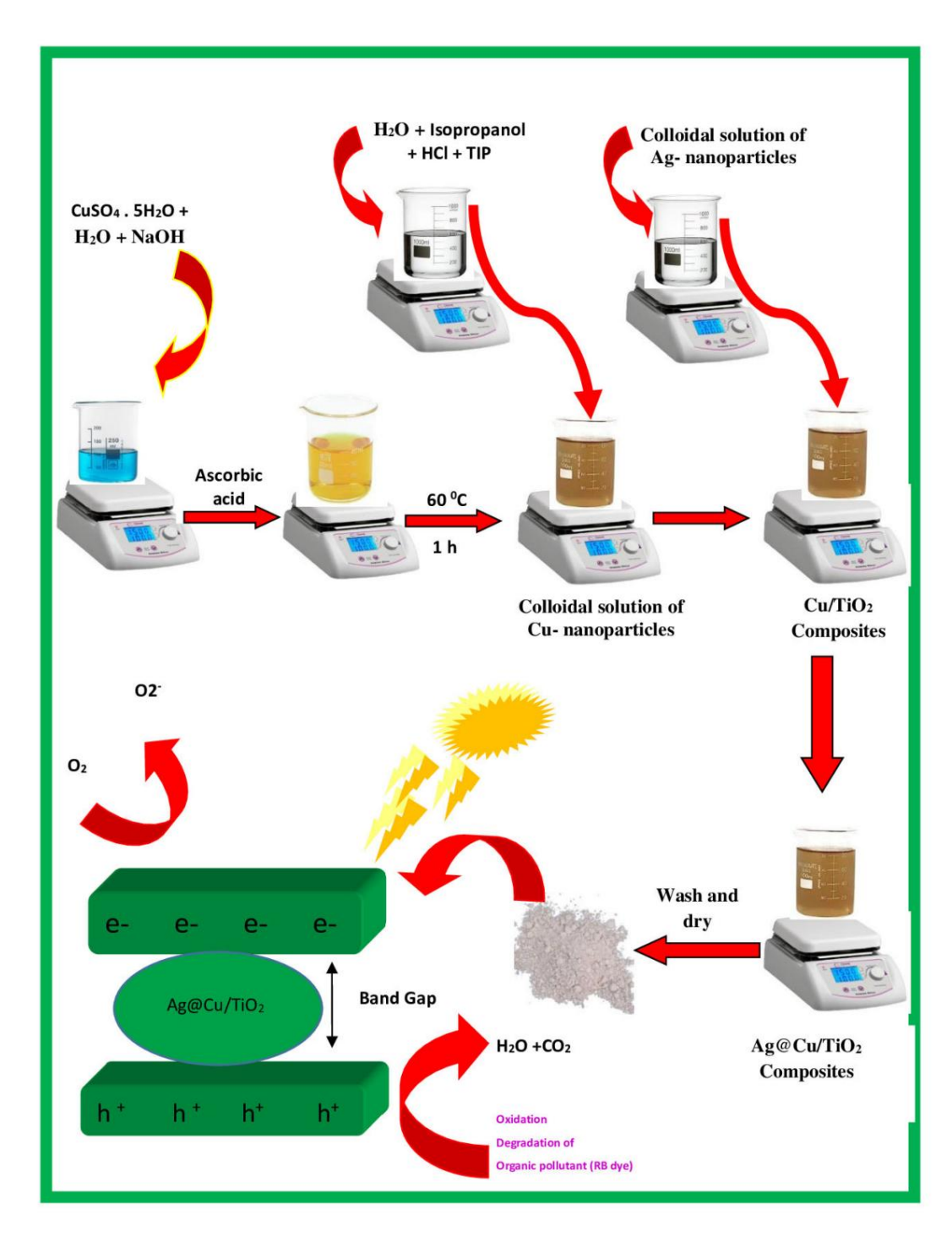


Figura 1. Ilustración esquemática de la síntesis de Ag@Cu/TiO2 . Figura 1. Ilustración esquemática de la síntesis de Ag@Cu/TiO2.

- 2.3. Degradación fotocatalítica de RB y producción de hidrógeno.
- 2.3. Degradoción fotocatalítica de Ros verallusciónes e hiterígados, concretamente TiO2 puro, Ag/TiO2, Cu/TiO29 ación de atalitica de Ros verallus ados es sintetizados, concretamente TiO2 puro, Ag/TiO2, Cu/TiO29 ación de atalitica de la constante de ación de ación

La eficiencia de degradación del TiO2 puro, Ag/TiO2, Cu/TiO2 y Ag@Cu/TiO2 se calculó mediante la siguiente ecuación [25].

Degradación(%) =
$$\frac{\text{Co - Ct}}{\text{Co}} = 100$$
 (1)

En la ecuación proporcionada, Co representa la concentración inicial de tinte RB, mientras que Ct significa la concentración de RB después de un intervalo de tiempo específico (0, 20, 40 y 60 min). Posteriormente, se determinó la constante de velocidad aparente (k) utilizando la siguiente ecuación.

en
$$\frac{}{Co}$$
 = -kt (2)

Para evaluar la producción de hidrógeno, se utilizó metanol como eliminador. En los procesos de producción de hidrógeno, los captadores desempeñan un papel fundamental a la hora de aumentar la eficiencia. Abordan desafíos clave al capturar pares de electrones y huecos y evitar que desperdicien la energía generada [1]. Además, los eliminadores apuntan y eliminan selectivamente las moléculas involucradas en reacciones secundarias no deseadas, protegiendo los intermediarios cruciales necesarios para la evolución del hidrógeno. Además, pueden facilitar el movimiento de cargas fotogeneradas dentro del sistema, asegurando su utilización eficiente para la producción de hidrógeno. Básicamente, los captadores actúan como guardianes, optimizando varios aspectos del proceso para maximizar la producción de hidrógeno [2].

3. Resultado y Discusión

3.1. Análisis morfológico de superficie

El análisis morfológico de TiO2, Ag/TiO2, Cu/TiO2 y Ag@Cu/TiO2 se realizó mediante SEM (Figura 2) y TEM (Figura 3). El SEM del TiO2 puro muestra grupos de partículas redondas de pequeño tamaño empaquetadas en agregados pequeños y grandes. Ag/TiO2, Cu/TiO2 y Ag@Cu/TiO2 muestran una morfología similar, con todos los constituyentes en el rango nano. A partir de las micrografías se puede predecir que todos los componentes del Ag@Cu/TiO2 están bien intercalados entre sí. Las imágenes TEM de Ag@Cu/TiO2 muestran que todo el TiO2, Cu y Ag están bien intercalados entre sí, siendo el tamaño de algunos TiO2 ligeramente superior a 100 nm.

El análisis elemental del TiO2, Ag/TiO2, Cu/TiO2 y Ag@Cu/TiO2 por EDS muestra la presencia de Ti y O en el TiO2, Ti, O y Ag en el Ag/TiO2, Cu, Ti y O en el Cu/TiO2 y Cu, Ti, O y Ag en Ag@Cu/TiO2, lo que representa la formación exitosa del compuesto, así como la ausencia de impurezas. La distribución uniforme de los elementos respectivos, como se muestra en el análisis de mapeo (Figura 4), sugiere la eficacia de la metodología de síntesis.

3.2. Análisis químico y de composición de

superficies La composición elemental y los grupos funcionales de los catalizadores preparados (TiO2 puro, Ag/TiO2, Cu/TiO2 y Ag@Cu/TiO2) se estudiaron mediante espectroscopía de fotoelectrones de rayos X (XPS). Los espectros de estudio (Figura 5a) proporcionaron información sobre los elementos de la superficie, mientras que la composición detectada se ilustra en la Figura 5b. El TiO2 puro demostró una composición que comprende 58,1% de oxígeno y 41,9% de titanio. En el caso del Ag/TiO2, los elementos estuvieron presentes en los porcentajes de 51,7% oxígeno, 45,3% titanio y 3,0% plata. Asimismo, se confirmó la incorporación de cobre al Cu/TiO2, con una composición de 50,7% oxígeno, 43,0% titanio y 6,3% cobre. El nanocompuesto ternario, denominado Ag@Cu/TiO2, exhibió una composición elemental de 35,4% de oxígeno, 39,2% de titanio, 16,7% de plata y 8,7% de cobre.

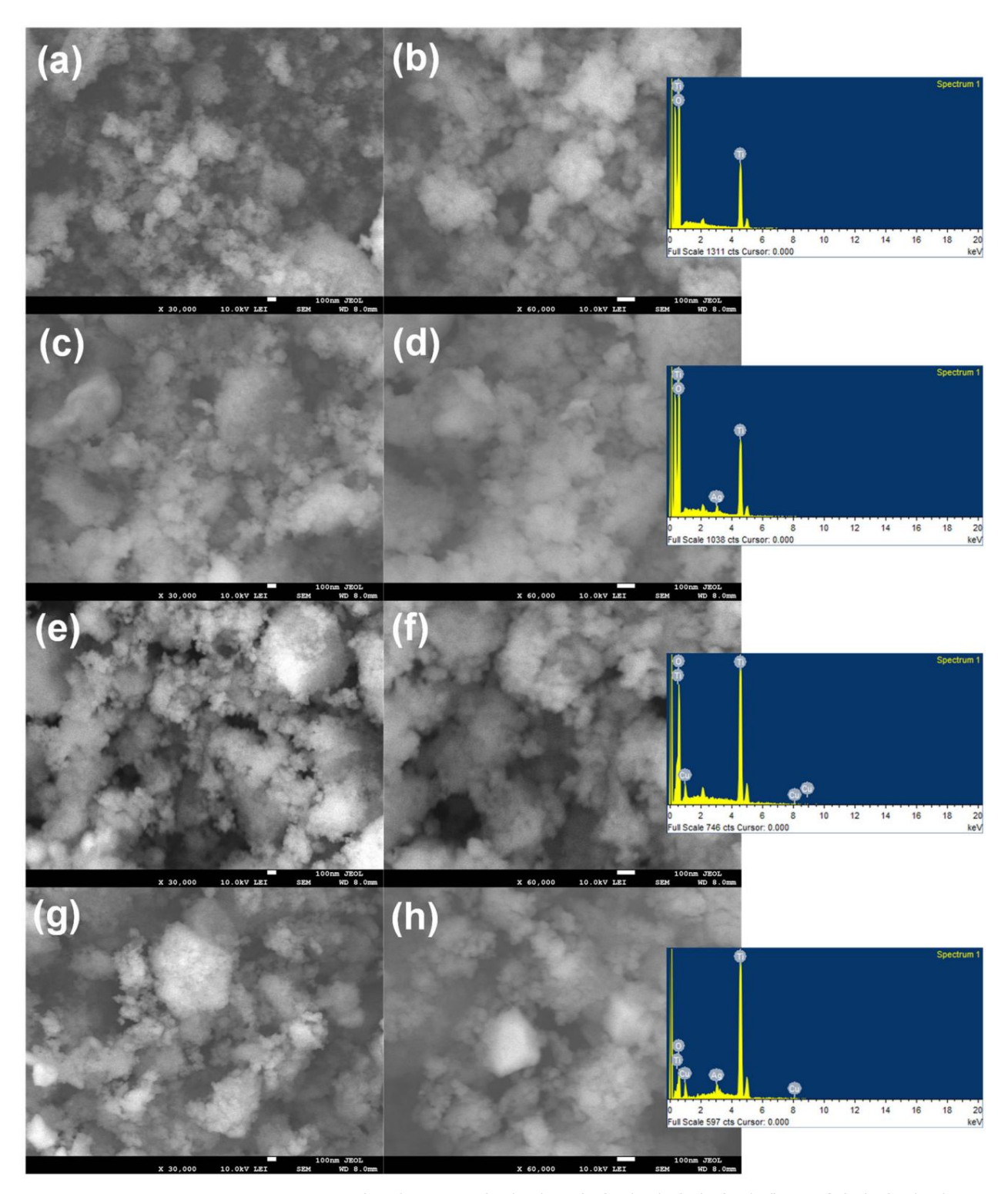


Figure 29 Microsteffes & FIND 19, Tip 24(Tip) 24(Tip) 1602, (C,W) Tip 24(Tip) 24(Tip)

El análisis del estado químico del Ti2p se exploró más a fondo para dilucidar las interacciones químicas en TiO2, Ag/TiO2, Cu/TiO2 y Ag@Cu/TiO2 (Figura 6a-d). En el análisis del estado químico del TiO2 puro (Figura 6a), se observaron distintos picos a 457,99 eV y 463,67 eV , correspondientes a Ti2p3/2 y Ti2p1/2, con contribuciones de 73,32% y 26,68%, respectivamente. La introducción de Ag y Cu en el TiO2 provocó alteraciones en las contribuciones de Ti2p3/2 y Ti2p1/2. Específicamente, la muestra de Ag/TiO2

Aportes totales del 72,05% (Ti2p3/2) y 27,95% (Ti2p1/2). De igual forma, el Cu/TiO2 presentó aportes totales de 78,38% (Ti2p3/2) y 21,62% (Ti2p1/2). El compuesto ternario final, Ag@Cu/TiO2, mostró contribuciones totales del 72,31% (Ti2p3/2) y del 27,69% (Ti2p1/2). En resumen, los cambios observados en las contribuciones porcentuales atómicas de Chemistry 2024, 6, FOR PEER REVIEW

Ti2p3/2 y Ti2p1/2 en el TiO2 puro después de la adición de Ag y Cu significan la interacción exitosa entre los componentes.

Figura 3. Imágenes TEM del Ag@Cu/TiO2 a diferentes aumentos.

El análisis elemental del TiO2, Ag/TiO2, Cu/TiO2 y Ag@Cu/TiO2 mediante EDS muestra la presencia de Ti y O en el TiO2, Ti, O y Ag en el Ag/TiO2, Cu, Ti y O en el Cu/TiO2 y Cu, Ti, O y Ag en Ag@Cu/TiO2, le pue apresenta la formadio exidente está como la ausencia de impurezas. La distribución unitorne de los elementos respectivos, como se muestra en el aná isis de mapeo (Figura 4), sugiere la Figura 3. Imágenes TEM de Ag@Cu/TiO2 con diferentes aumentos. el Fagura 3. Imágenes de la Ag@Cu/TiO2 a diferentes aumentos.

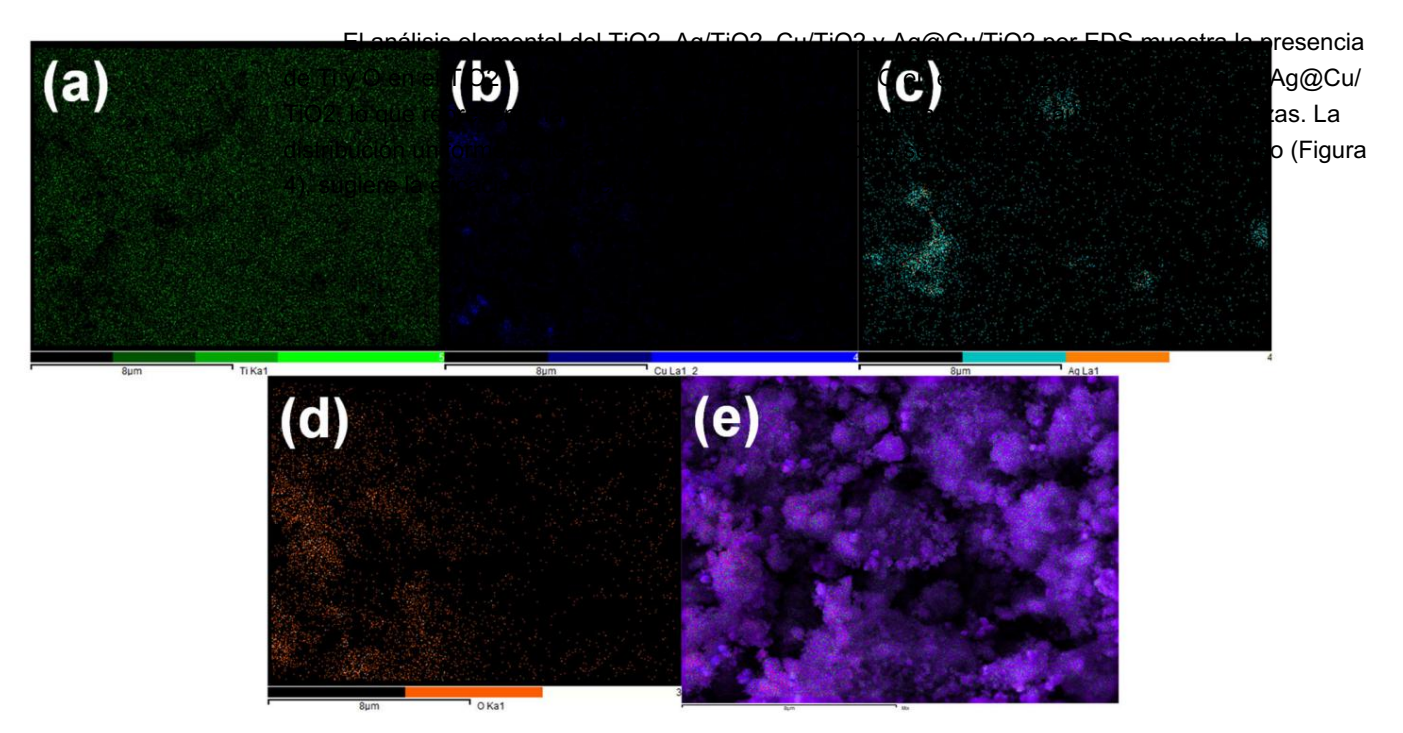


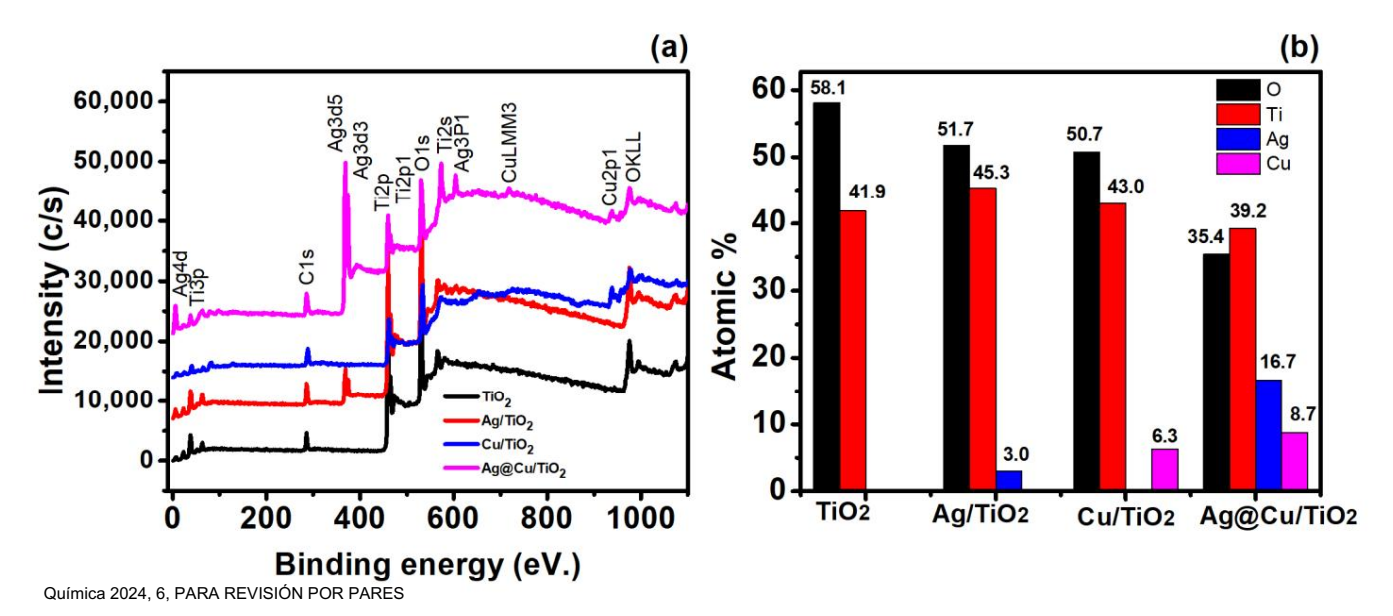
Figura Pistibusión de Legans de enemental de Je (a) (a) (b) (b) 9/46) (c) (c) (d) (v) el enembro o introde (e).

3.2. Análisis químico y de composición de superficies

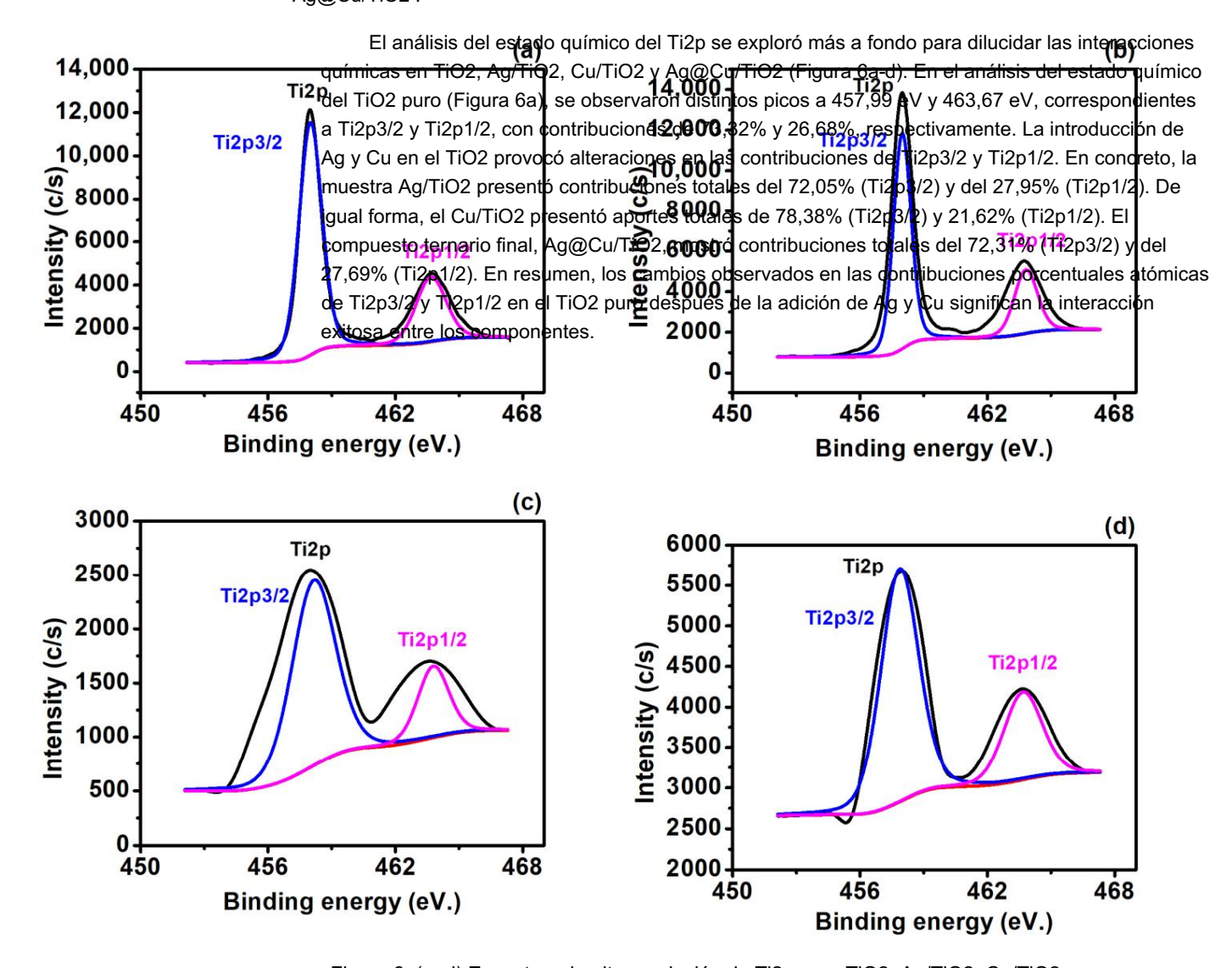
La composición elemental y los grupos funcionales de los catalizadores preparados (TiO2 puro, Ag/TiO2, Cu/TiO2 y Ag@Cu/TiO2) se estudiaron mediante espectroscopia fotoelectrónica de rayos X (XPS). Los espectros de estudio (Figura 5a) proporcionaron información sobre los elementos de la superficie, mientras que la composición detectada se ilustra en la Figura 5b. El TiO2 puro demostró una Figura 4. Distribución cartográfica elemental de Ti (a), O (b), Ag (c), Cu (d) y elementos mixtos (e).

3.2. Análisis químico y de composición de superficies

Los elementos estuvieron presentes en porcentajes de 51,7% de oxígeno, 45,3% de titanio y 3,0% de plata. De igual forma se confirmó la incorporación de cobre al Cu/TiO2 , con una composición de 50,7% oxígeno, 43,0% titanio y 6,3% cobre. El nanocompuesto ternario, denominado Ag@Cu/TiO2, exhibió una composición elemental de 35,4% de oxígeno, 39,2% de titanio, 16,7% de plata y 8,7% de cobre.

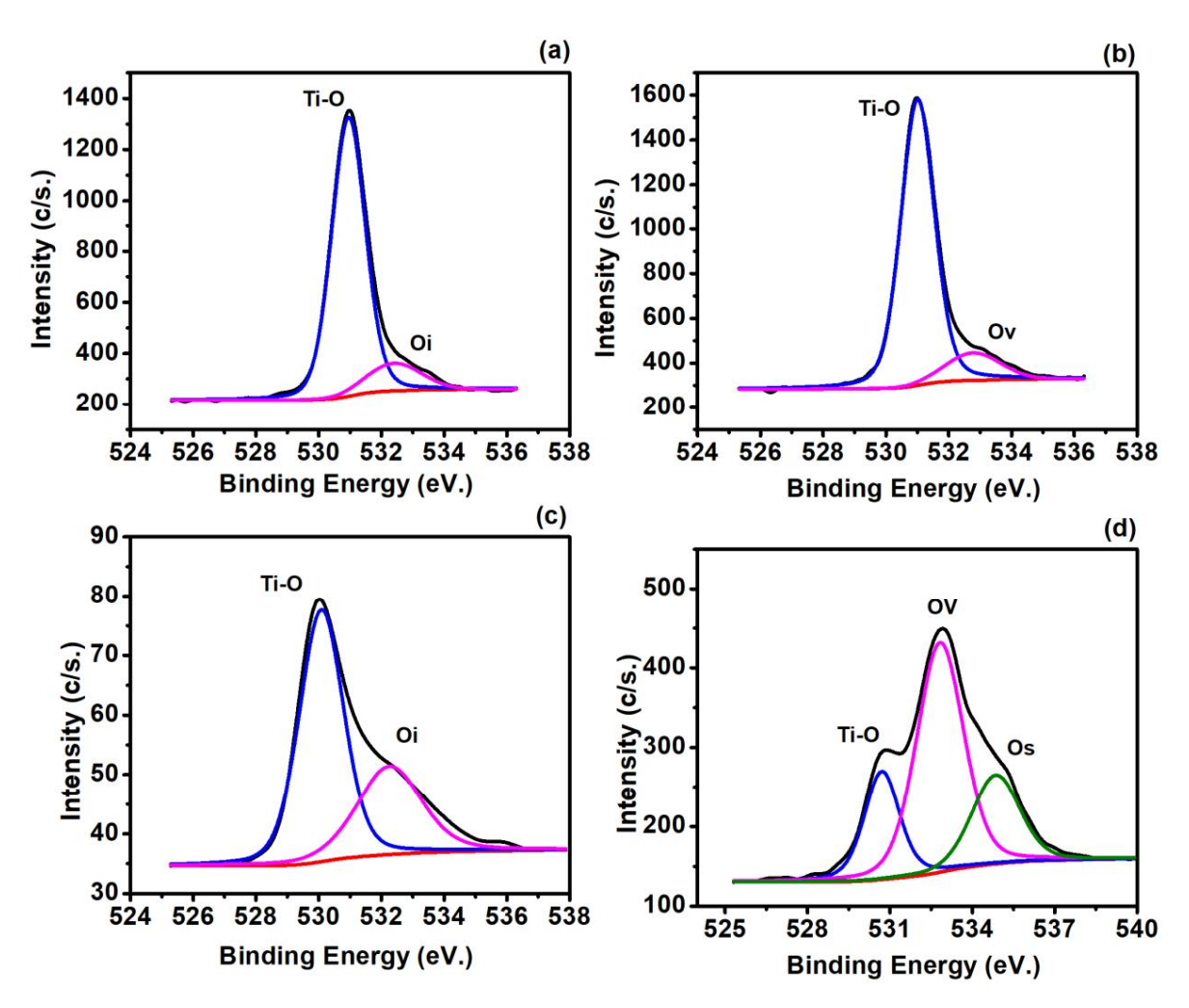


de Tro Diguagn frow), የፍርባ የተመደ ያላ ተመደመው (b) composición de TiO2, Ag/TiO2, Cu/TiO2 y Figura 5. (a) espectros de estudio XPS y (b) composición Ag@Cu/TiO2 .



Los espectros de O1 del TiO2 puro (Figura 7a) exhiben dos picos principales alrededor de 530 eV y 532,5 eV, atribuidos a la interacción entre el oxígeno y el Ti a 530 eV y la vacancia de oxígeno a 532,5 eV, respectivamente [1]. En particular, la presencia de Ag en el TiO2 (Ag/TiO2), como se muestra en la Figura 7b, da como resultado un aumento en la vacancia de oxígeno del 12,54% al 13,12%

Los espectros de O1 del TiO2 puro (Figura 7a) exhiben dos picos principales alrededor de 530 eV y 532,5 eV, atribuidos a la interacción entre el oxígeno y el Ti a 530 eV y la vacancia de oxígeno a 532,5 eV, respectivamente [1]. En particular, la presencia de Ag en el TiO2 (Ag/TiO2), como se muestra en la Figura 7b, da como resultado un aumento en la vacancia de oxígeno del 12,54% al 13,12%. Esta tendencia continúa con la adición de Cu al TiO2 (Cu/TiO2) y al ternario Ag@Cu/TiO2. La máxima vacancia de oxígeno, que alcanza el 56,45%, se observa para Ag@Cu/TiO2. Estas vacantes sirven como sitios de captura activa para moléculas de tinte y contaminantes, mejorando así la actividad fotocatalítica del material [2]. Estos hallazgos se alinean con nuestros resultados fotocatalíticos, como se describe más adelante en la Figura 9. Además, es evidente un pico adicional en alrededor de 534,6 eV para Ag@Cu/TiO2, atribuido al oxígeno de superficie (Os), contribuyendo aún más a la actividad fotocatalítica mejorada del Ag@Cu/TiO2 ternario en comparación con el TiO2, Ag/TiO2 y Cu/TiO2 puros.



estado estendo quémico de maga en la companition de la prevela o incostra 24 pado 252 a a 368 36% p 474 374, per permenimenten con manition de mes de do prove se por provinción de la companition de la companiti

 Química 2024, 6
 Química 2024, 6, PARA REVISIÓN POR PARES
 498

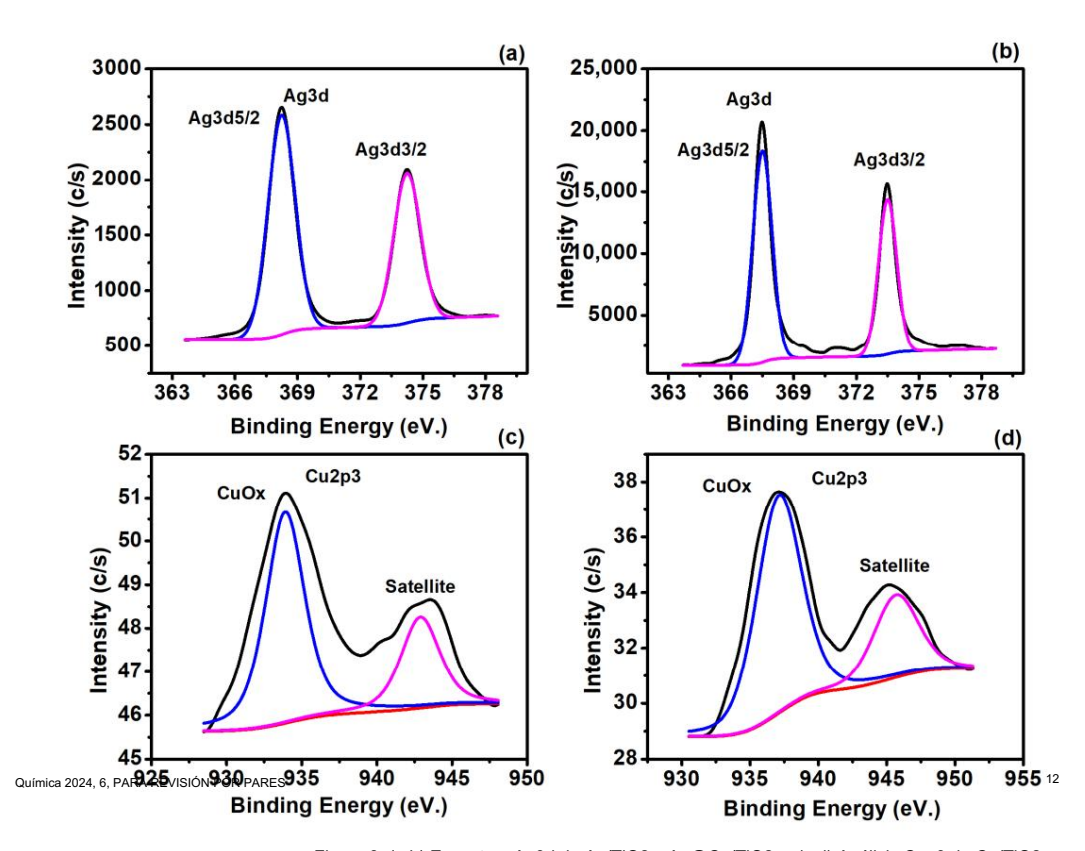
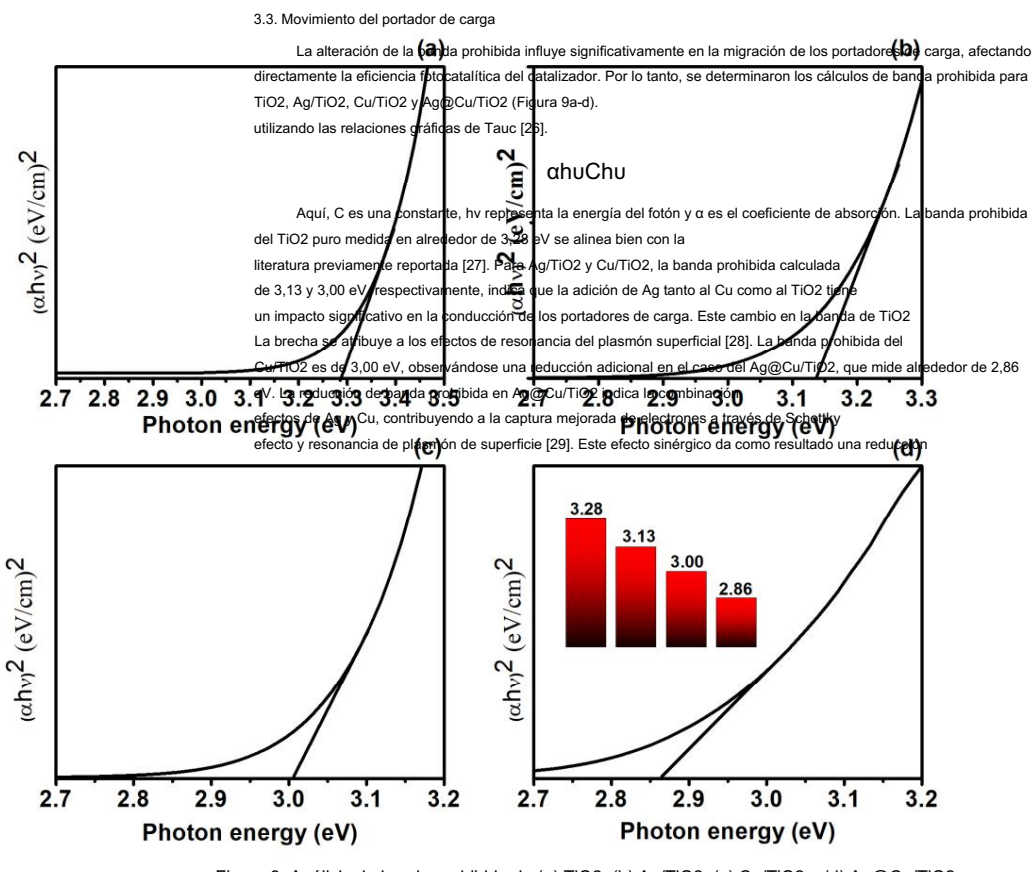


Figura 8. (a,b) Espectros Machine Agricultus Machine Call Trico y Ag@Cultico y Agward y Ag@Cultico y Agward y Agwar



3.4. Relación de recombinación de carga

La relación de recombinación de carga es inversamente proporcional al rendimiento fotocatalítico. Las relaciones de recombinación de carga de TiO2, Ag/TiO2, Cu/TiO2 y

Ag@Cu/TiO2 se determinaron a través de espectros de fotoluminiscencia, como se muestra en la Figura 10. El análisis de los espectros de fotoluminiscencia reveló que el TiO2 exhibió un pico

de alta intensidad en comparación con Ag/TiO2, Cu/TiO2 y Ag@Cu/TiO2, lo que indica una alta relación de recombinación para el TiO2, lo que en consecuencia conduce a una menor eficiencia fotocatalítica

3.3. Movimiento del portador de carga

La alteración de la banda prohibida influye significativamente en la migración de los portadores de carga, afectando directamente la eficiencia fotocatalítica del catalizador. Por lo tanto, los cálculos de la banda prohibida para TiO2, Ag/TiO2, Cu/TiO2 y Ag@Cu/TiO2 (Figura 9a-d) se determinaron utilizando las relaciones de gráficos Tauc [26].

 $\alpha(hu) = C hu - Por ejemplo$

Aquí, C es una constante, hv representa la energía del fotón y α es el coeficiente de absorción. La banda prohibida del TiO2 puro medida en alrededor de 3,28 eV se alinea bien con la literatura publicada anteriormente [27]. Para Ag/TiO2 y Cu/TiO2, la banda prohibida calculada de 3,13 y 3,00 eV, respectivamente, indica que la adición de Ag tanto al Cu como al TiO2 tiene un impacto significativo en la conducción de los portadores de carga. Este cambio en la banda prohibida de TiO2 se atribuye a los efectos de resonancia del plasmón superficial [28]. La banda prohibida del Cu/TiO2 es de 3,00 eV, observándose una reducción adicional en el caso del Ag@Cu/TiO2, que mide alrededor de 2,86 eV. La reducción de la banda prohibida en Ag @ Cu / TiO2 indica los efectos combinados de Ag y Cu, lo que contribuye a la captura de electrones mejorada a través del efecto Schottky y la resonancia de plasmón superficial [29]. Este efecto sinérgico da como resultado una banda prohibida estrecha, electrones acelerados y movimientos de huecos en Ag@Cu/TiO2, lo que en consecuencia da como resultado una degradación fotocatalítica mejorada de RB.

3.4. Relación de recombinación de carga

La relación de recombinación de carga es inversamente proporcional al rendimiento fotocatalítico. Las relaciones de recombinación de carga de TiO2, Ag/TiO2, Cu/TiO2 y Ag@Cu/TiO2 se determinaron a través de los espectros de fotoluminiscencia, como se muestra en la Figura 10. El análisis de los espectros de fotoluminiscencia reveló que el TiO2 exhibió un pico de alta intensidad. en comparación con Ag/TiO2, Cu/TiO2 y Ag@Cu/TiO2, lo que indica una alta relación de recombinación para el TiO2, lo que en consecuencia conduce a una menor eficiencia fotocatalítica. Por el contrario, Ag@Cu/TiO2 tuvo una intensidad baja, lo que sugiere una mayor eficiencia de RODES Las resultados de fataluminiscencia se alignada son que travaltados de fataluminiscencia se alignada son que travaltados de fataluminiscencia con alignada son que travaltado de fataluminiscencia con alignada son que travaltados de fataluminiscencia con con alignada son que travaltados de fataluminiscencia con alignada son con

Chemistry 2024, 6, PARA REVISIÓN PO

PARES Los resultados de fotoluminiscencia se alinean con nuestros hallazgos fotocatalíticos, que indicaron que la eficiencia de degradación es la siguiente: Aq@Cu/TiO2 > Cu/TiO2 > Ag/TiO2 > TiO2.

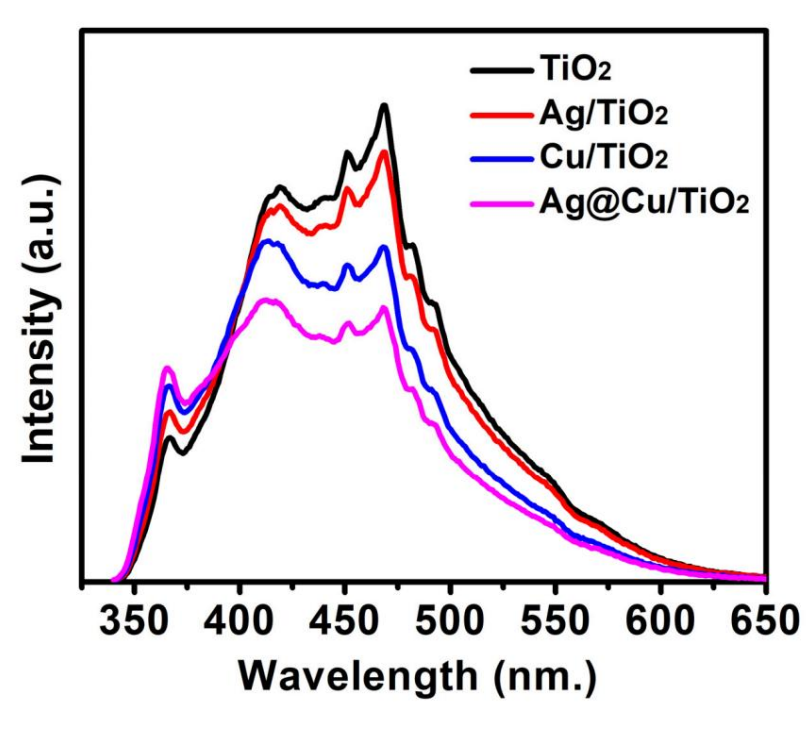


Figura 10. Relación de recombinación de caraque Tivos Andificaç octivos Andificas.

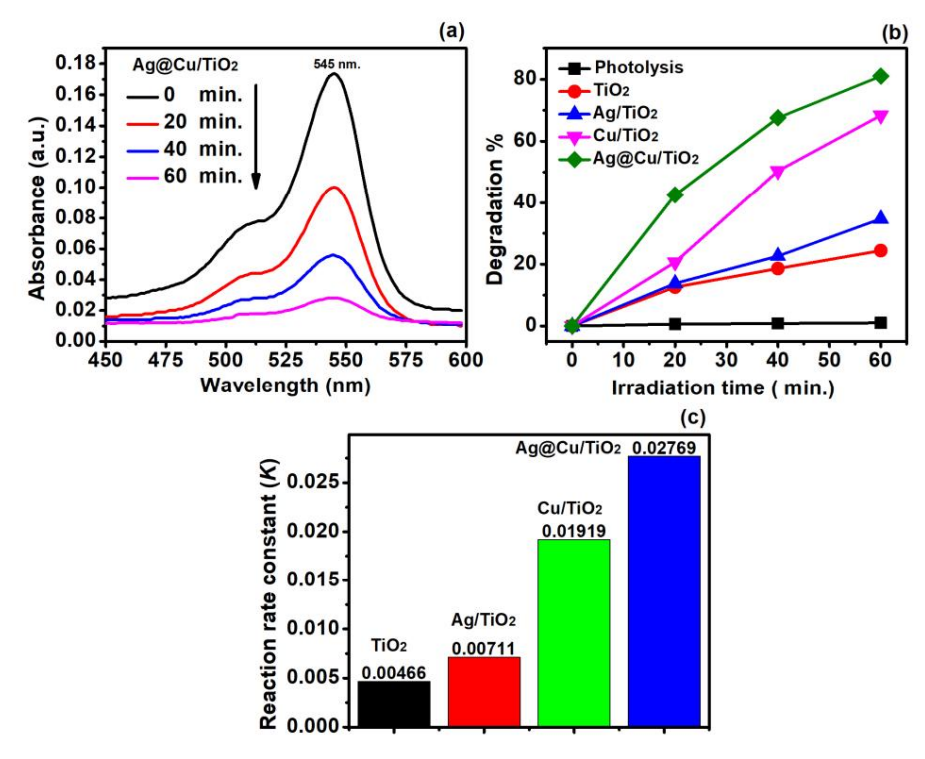
3.5. Degradación fotocatalítica de RB

El espectro UV-Vis de RB dependiente del tiempo bajo irradiación UV-Vis se muestra en la Figura 9a, donde el pico de absorción característico está en λmax de 545 nm, que es la característica principal de RB. Al observar la Figura 9a, se hace evidente que con el aumento del tiempo de irradiación de 0 a 60 m, el pico de absorción disminuye gradualmente, lo que indica la desradación de RB b TiO2, A/TiO2, Cu/TiO2 y A@Cu/TiO2. bajo luz visible.

3.5. Degradación fotocatalítica de RB

El espectro UV-Vis de RB dependiente del tiempo bajo irradiación UV-Vis se muestra en la Figura 9a, donde el pico de absorción característico está en λmax de 545 nm, que es la característica principal de RB. Al observar la Figura 9a, se hace evidente que con el aumento del tiempo de irradiación de 0 a 60 m, el pico de absorción disminuye gradualmente, lo que indica la degradación de RB por TiO2, Aq/TiO2, Cu/TiO2 y Aq@Cu/TiO2. bajo luz visible.

Las Figuras 9b,c ilustran las estadísticas de degradación, lo que demuestra que la eficiencia de degradación del TiO2 puro es aproximadamente del 24,41% dentro de 60 m de irradiación. Esta eficiencia relativamente baja se debe a su gran banda prohibida y su alta tasa de recombinación de carga. Con la integración de Ag, la eficiencia de degradación del TiO2 puro aumentó a aproximadamente 34,73% en el mismo período. Esta mejora se debe a la resonancia de fotoluminiscencia superficial inducida por la plata, que suprime la recombinación de los portadores de carga, intensificando en consecuencia la degradación de RB por Ag/TiO2 [25].



3.5.1. Efecto de la concentración de RB

Figura 11. (a) Espectro UV-Vis de RB dependiente del tiempo para Ag@Cu/TiO2, y (b) estadísticas de Figura 11. (a) Espectro UV-Vis de RB dependiente del tiempo para Ag@Cu/TiO2, y (b) degradación y (c) constante de tiempo para Ag@Cu/TiO2, y (b) degradación y (c) constante de tiempo para Ag@Cu/TiO2, y (b) degradación y (c) constante de tiempo para Ag@Cu/TiO2, y (b) de tiempo para Ag@Cu/TiO2, y (b) estadísticas de provinción y (c) constante de tiempo para Ag@Cu/TiO2, y (b) estadísticas de provinción y (c) constante de tiempo para Ag@Cu/TiO2, y (b) estadísticas de provinción y (c) estadística

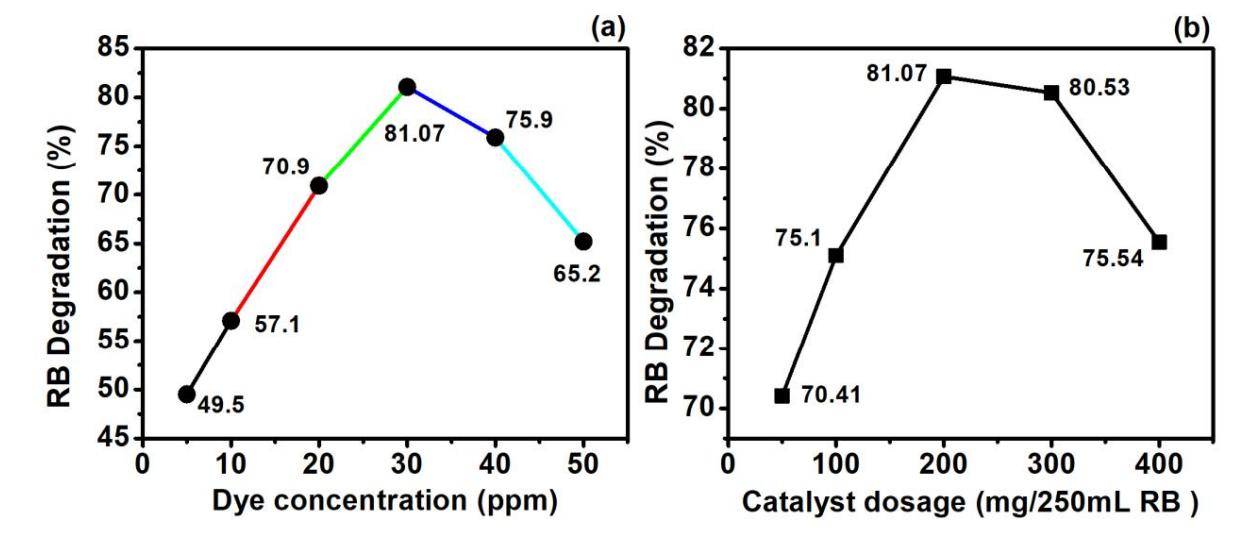
La concentración de tinte es un factor crucial ya que puede mejorar o disminuir la eficiencia fotocatalítica del catalizador. Para examinar esto, se llevaron a cabo una serie de reacciones a varias concentraciones de RB, a saber, 5, 20, 30, 40 y 50 ppm, manteniendo la dosis de Ag@Cu/TiO2 fija en 200 mg/250 ml y la intensidad de la luz en una lámpara halógena de 500 W. Como se muestra en la Figura 12a, se encontró que la degradación de RB estaba en su punto máximo, alrededor del 81,07 %, a una concentración de RB de 30 ppm. Los resultados revelaron un aumento progresivo en

3.5.1. Efecto de la concentración de RB

La concentración de tinte es un factor crucial ya que puede mejorar o disminuir la eficiencia fotocatalítica del catalizador. Para examinar esto, se llevaron a cabo una serie de reacciones a varias concentraciones de RB, a saber, 5, 20, 30, 40 y 50 ppm, manteniendo la dosis de Ag@Cu/TiO2 fija en 200 mg/250 ml y la luz. intensidad con una lámpara halógena de 500 W. Como se muestra en la Figura 12a, se encontró que la degradación de RB estaba en su punto máximo, alrededor del 81,07 %, a una concentración de RB de 30 ppm. Los resultados revelaron un aumento progresivo en la tasa de degradación de 5 ppm a 30 ppm, con valores de degradación de aproximadamente 49,5%, 57,1%, 70,9% y 81,07% para 5 ppm, 10 ppm, 20 ppm y 30 ppm, respectivam En particular, la degradación de RB comenzó a disminuir más allá de 30 ppm, con valores de degradación de 75,9% y 65,2% para 40 ppm y 50 ppm, respectivamente. El rendimiento fotocatalítico altamente eficiente del Ag@Cu/TiO2 se debe a la creciente disponibilidad de moléculas de tinte RB para la excitación y la

transferencia de energía con una concentración creciente de RB [30]. Sin embargo, al superar un nivel de

Química 2024, 6, PARA REVISIÓN POR PAR**ES**ncentración crítico, en nuestro caso 30 ppm, las moléculas de colorante comienzan a absorber la radiación en lugar de ser absorbidas por el Ag@Cu/TiO2, lo que resulta en una disminución de la eficiencia fotocatalítica del Ag@Cu/. TiO2 [31].



Agto Liffic 12 de 512. de 18 fitta di é hadeosis

de un cierto umbral de dosis de Ag@Cu/TiO2 [29].

cko/kg@Cu/ZiO2g Laddeigna datacióat faltica tabépien otte pertelecaletilatacho dictardalica adata letra dato en la sebureiento, Remestula isé estardiscilan valei dasióan diel dati chen Ada@ Ge/Aig@ 60/Tei G2l ecrida selu Reproductif Res. die trota chi tálisi is alsasos isos decretaga@ @ CTi/O 102 sebe de comiandas as évoence 05 to gr/2505 to lo 11,00 mg/250 de L, 200, 200/250, 200/250, 200/350, 2

Վեցիան Արդեն Արգանի արգանի

La reutilización cíclica del Ag@Cu/TiO2 se evaluó durante siete ciclos consecutivos (ver Figura S2). Sorprendentemente, la reutilización se mantuvo estable en 79,96% incluso después del séptimo ciclo. Estos hallazgos subrayan el potencial prometedor de Ag@Cu/TiO2 para el tinte RB

Esta disminución de la eficiencia se puede atribuir a la desorción y dispersión de la luz más allá de un cierto umbral de dosis de Ag@Cu/TiO2 [29].

La reutilización cíclica del Ag@Cu/TiO2 se evaluó durante siete ciclos consecutivos (ver Figura S2). Sorprendentemente, la reutilización se mantuvo estable en un 79,96% incluso después del séptimo ciclo. Estos hallazgos subrayan el potencial prometedor de Ag@Cu/TiO2 para la degradación del tinte RB bajo luz visible.

3.5.3. Mecanismo fotocatalítico propuesto

La Figura 13 muestra la ruta sugerida de degradación de Ag@Cu/TiO2 de RB. Hay tres formas posibles para la formación de heterouniones binarias y ternarias con TiO2.

El nivel de energía del orbital molecular ocupado más alto del Cu se encuentra entre la banda de valencia (VB) y la banda de conducción (CB) del TiO2, lo que facilita la formación de la heterounión binaria. Bajo irradiación de luz visible, Cu/TiO2 facilita la transferencia de huecos a Cu, lo que lleva al transporte de electrones al CB del TiO2. La gran cantidad de agujeros en el Cu reaccionan con el RB, provocando oxidación y posterior degradación del RB. Además, el CB generado se produce en una heterounión binaria Ag@TiO2 debido a las diferencias en el TiO2 y los electrones tratagicadena (IBD). Esta recipala produce en una heterounión binaria Ag@TiO2 debido a las diferencias en el TiO2 y los electrones tratagicadena (IBD). Esta recipala produce en una heterounión binaria Ag@TiO2 debido a las diferencias en el TiO2 y los electrones tratagicadena (IBD). Esta recipala produce en una heterounión binaria Ag@TiO2 debido a las diferencias en el TiO2 y los electrones tratagicadena (IBD). Esta recipala produce en una heterounión binaria Ag@TiO2 debido a las diferencias en el TiO2 y Regratagica fella produce de la produce en el TiO2 y la faga de la facilita de la produce de la facilita de la facilita de la produce de la facilita de la facilita

Química 2024, 6, PARA REVISIÓN POR PARES

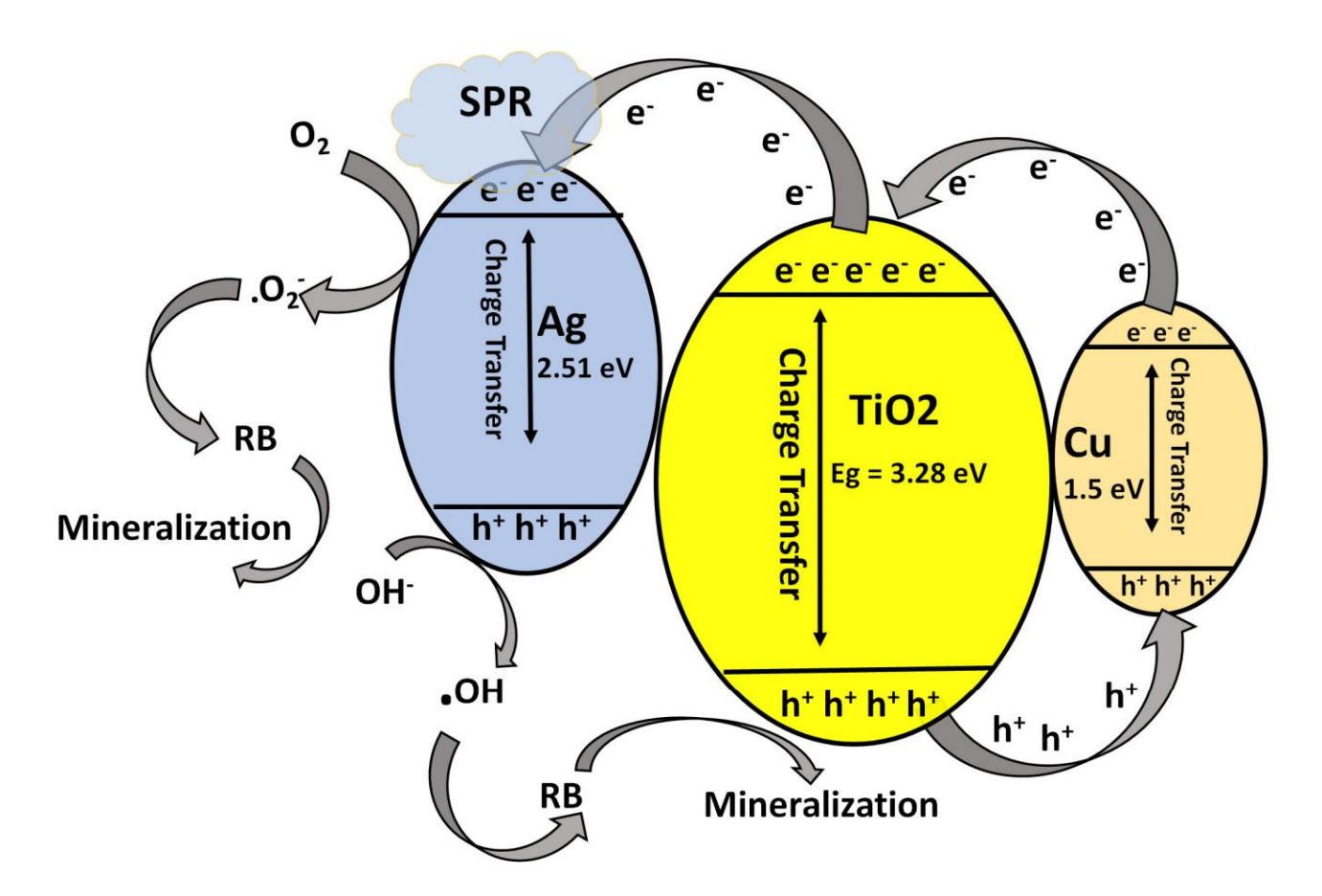


Figura 13. Mecanismo de degradación propuesto de RB por Ag@Cu/TiO2 .

Figura 13. Mecanismo de degradación propuesto de RB por Ag@Cu/TiO2.

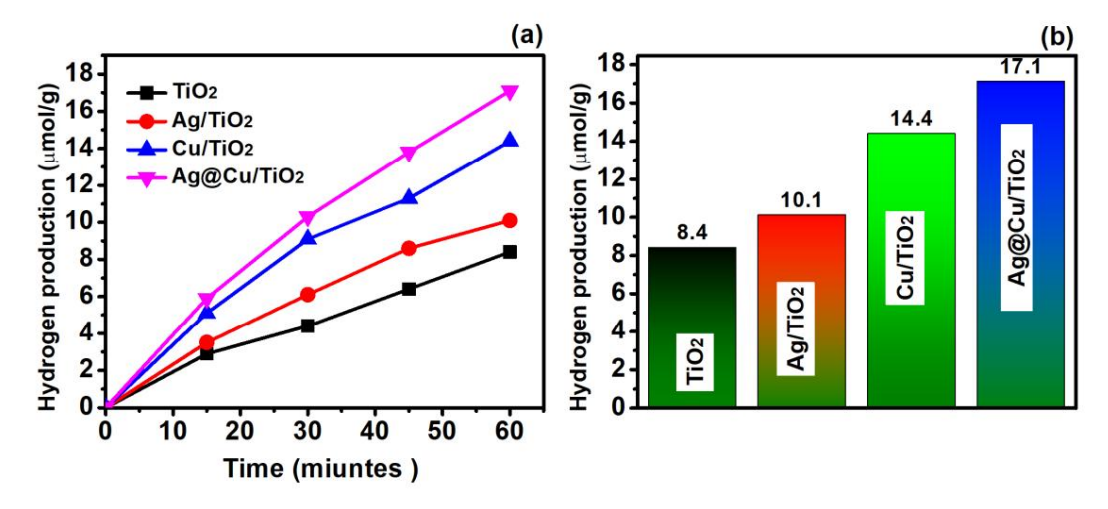
3.6. Producción de hidrógeno

Utilizando una concentración del 20% de metanol como eliminador, evaluamos la generación de hidrógeno fotocatalítico de TiO2, Ag/TiO2, Cu/TiO2 y Ag@Cu/TiO2. Los resultados, como

3.6. Producción de hidrógeno

Utilizando una concentración del 20% de metanol como eliminador, evaluamos la generación de hidrógeno fotocatalítico de TiO2, Ag/TiO2, Cu/TiO2 y Ag@Cu/TiO2. Los resultados, como se muestra en la Figura 14, indican que el TiO2 puro exhibió una tasa más lenta de producción de hidrógeno (8,4 µmol h-1 g aumentó significativamente ⁻¹), pero la tasa de desprendimiento de hidrógeno en el Ag/TiO2 aumenta.

puede deberse al papel de Ag en la 10,1 µmol h-1 g tras la incorporación de Ag. Esta mejora Chemistry 2024, 6, FOR PEER REVIEW mejora de la separación de portadores de carga [34]. Además, se observó que el Cu/TiO2 tenía una capacidad superior de producción de hidrógeno en comparación con el Ag/TiO2, con un valor aproximado de 14,4 µmol h. Se encontró que -1 g Ag@Cu/TiO2 era alrededor de -1. La producción de 17,1 µmol h-1 g-1, lo que sugiere que Ag y Cu siner- de Ag@Cu/TiO2 era alrededor de 17,1 µmol h-1 g esencialmente contribuyen a Además, el análisis XPS de los O1 indiredeno, sugirirendo que Ag y Cu indica un aumento notable en las vacantes de oxígeno . El análisis XPS de los O1 indica un aumento notable en las vacantes de oxígeno para Ag@Cu/TiO2 en comparación con TiO2, Cu/TiO2 y Ag/TiO2 puros . Esta observación sirve como otro factor que contribuye a la mayor producción de hidrógeno. sirve como otro factor que contribuye a la mayor producción de hidrógeno.



Fügyen)44.49abid and de entrope entrop

4. Conclusiones

Enimenter cal accompanient forgics of examination to the first form in the form of the first form of the form of t

Materiales complementarios: la siguiente información de respaldo se puede descargar en: https://www.mdpi.com/artifiglia399/kbeinizabilida0de/kaj@cquff62; figura399/kbeinizabilida0de/kaj@cquff62; figura

Contribuciones de los autores: Conceptualización, SY, AJ, PK, SAA y MOA; Curación de datos, SS y SY; Análisis formal, SY, SS y SAA; Adquisición de financiación, SY y PK; Investigación SY, AJ, PK, SAA, MOA y MA; Metodología, SY, PK, AJ y MOA; Administración de proyectos, SY, AJ, PK y MOA; Recursos, SY, AJ, PK y MOA; Software, SS y MA; Supervisión, AJ, PK y MOA; Validación, SY y MA; Visualización, SY, PK, SAA y MOA; Escritura: borrador original, SY y MA; Escritura: revisión y edición, SY, AJ, PK y MOA Todos

> Contribuciones de los autores: Conceptualización, SY, AJ, PK, SAA y MOA; Curación de datos, SS y SY; Análisis formal, SY, SS y SAA; Adquisición de financiación, SY y PK; Investigación SY, AJ, PK, AEA, MOA y MA; Metodología, SY, PK, AJ y MOA; Administración de proyectos, SY, AJ, PK y MOA; Recursos, SY, AJ, PK y MOA; Software, SS y MA; Supervisión, AJ, PK y MOA; Validación, SY y MA; Visualización, SY, PK, SAA y MOA; Escritura: borrador original, SY y MA; Redacción: revisión y edición, SY, AJ, PK y MOA Todos los autores han leído y aceptado las

Química 2024, 6, PARA REVISIÓN ROR PURIES la del manuscrito.

Financiamiento: Ambos autores (Pramod Kumar y Satish Yadav) desean agradecer al Superior Departamento de Educación del Gobierno de Uttar Pradesh (India) por brindar asistencia financiera y beca a travésadelvésideidieudenviædiglaviótiga doesalasta (10 a farta No 34/2022//1585/ 2022/001-4-3**2-2-02/22/02**/26deafet:h/a/0/20222022).

Química 2024, 6, PARA REVISTÓN A BERACIONA de desponsibilidas de de desponsibilidas de de

Agradecimientos Autoresu (Frantifodrika many Sakish Yaday) i deseagrada de Departamento de Educación Superior del Gobierno de Btaarle3tra (lestina) i produtir invelau satista enciacationa tura e és dibe (Surbaveno citón de Eldwestigán citón pe Dies derlo Bob (Cantra de 1992/2022/1585/

asisteneia 2002/9 a través de la beca de Investigación y Desarrollo (Carta N° 32-4-2022, de fecha 11/10/2022). 4-2022/001-4-32-2022, de becas y becas a través de la beca de Investigación y Desarrollo (Carta N° 89/2022/1585/ 89f2022/11t/89/2022)4-2022/001-4-32-2022, de fecha 11/10/2022).

Conflictos de cinterensido manteres de la conflicto de la conflicto de conflicto de

Referencias

Agradecimientos: Ambos autores (Pramod Kumar y Satish Yadav) desean agradecer al Departamento de Educación Superior del Gobierno de Uttar Pradesh (India) por proporcionar financiación 1. Feng, A.; Feng, J.; Xing, W.; Jiang, K.; Tang, W.

Aplicaciones versátiles de sistemas de flujo electroquímico en el tratamiento de aqua Tang, W. Aplicaciones versátiles de sistemas de sist Procesos. Química. Ing. J. 2023, 473, 145400. [CrossRef]
Procesos de tratamiento. Química. Ing. \$929222/478.5145409-2022/001-4-32-2022, de fecha 11/10/2022).

2. Huang, L.; Huang, X.; Yan, J.; Liu, Y.; Jiang, H.; Zhang, H.; Tang, J.; Liu, O. Avanza la investigación sobre la aplicación de la perovskita 2. Huang, L.; Huang, X.; Yan, J.; Liu, Y.; Jiang, H.; Zhang, H.; Ling, Y.; Liu, Q. Avanza la investigación sobre la aplicación de Perovskit en Adsorción y Eliminación Fotocatalitica de Contaminación Fotocat

en Adsorción y Eliminación Fotocatalitica de Contaminantes del Aqua. J. Peligro. Madre. 2023, 442, 130024.

3. Noor, R.; Magasod, A.; Baig, A.; Pandé, CB; Zahra, SM; Saad, A.; Anwar, M.; Singh, SK Unar evisión completa sobre el agua 3. Noor, R.; Magasod, A.; Baig, A.; Pandé, CB; Zahra, SM; Saad, A.; Anwar, M.; Singh, SK Unar evisión completa sobre el agua Contaminación. Region de Asia Meridional; Pakistan, Clima urbano. 2023, 48, 101413, Referencia cruzadal Contaminación, Region de Asia Meridional; Pakistan, Clima urbano. 2023, 48, 101413, Referencia cruzadal Contaminación, Region de Asia Meridional; Pakistan, Clima urbano. 2023, 48, 101413, Referencia cruzadal Contaminación, Region de Asia Meridional; Pakistan, Clima urbano. 2023, 48, 101413, Referencia cruzadal Contaminación, Region de Asia Meridional; Pakistan, Clima urbano. 2023, 48, 101413, Referencia cruzadal Contaminación, Region de Asia Meridional; Pakistan, Clima urbano. 2023, 48, 101413, Referencia cruzadal Contaminación, Region de Asia Meridional; Pakistan, Clima urbano. 2023, 48, 101413, Referencia cruzadal Contaminación, Region de Asia Meridional; Pakistan, Clima urbano. 2023, 48, 101413, Referencia cruzadal Contaminación, Region de Asia Meridional; Pakistan, Clima urbano. 2023, 48, 101413, Referencia cruzadal Contaminación, Region de Asia Meridional; Pakistan, Clima urbano. 2023, 11, Instituto de Taiwan, Quimica. Ing. 2014, 45, 1927-1936. [Referencia cruzadal Caracterización, actividades dotocataliticas y via de degradación. J. Instituto de Taiwan, Quimica. Ing. 2014, 45, 1927-1936.

5. Solayman, HM, Hossen, MA; Abd Azir, X. Yahya, Nueva York, Cariño, LK, Ching, SL; Monir, MU, Zoh, K.-D. Actuación S. Solayman, MA; Abd Azir, X. Yahya, Nueva York, Cariño, LK, Ching, SL; Monir, MU, Zoh, K.-D. Actuación S. Solayman, MA; Abd Azir, X. Yahya, Nueva York, Cariño, LK, Ching, SL; Monir, MU, Zoh, K.-D. Actuación S. Solayman, MA; Abd Azir, X. Yahya, Nueva York, Cariño, LK, Ching, SL; Monir, Mu, Zoh, Ma; Monir, Ma; Monir, Ma; Monir, Ma; Monir, Ma; Monir, Ma; M

y filtraction by metastrative decentralises of extrainment of eagular address restructives in the critical point of the control of the contro

Sintesis de nanocompuestos de nanofibras de carbono y óxido de zric con propiedades fotocataliticas y antimicrobianas altamente efficientes para el Printiamiento de Aguara Residuales de logida bibrosepara para el Tratamiento de Aguara Residuales. J. Ing. de Procesos de Agua. 2023, 54, 104020. Referencia cruzada 15. Guo, Minosen de Tautamiento de Aguara Residuales. J. Ing. de Procesos de Agua. 2023, 54, 104020. Referencia cruzada 15. Guo, Minosen de Tautamiento de Aguara Residuales. J. Ing. de Procesos de Agua. 2023, 54, 104020. Referencia cruzada 15. Guo, Minosen de Tautamiento de Aguara Residuales. J. Ing. de Procesos de Agua. 2023, 54, 104020. Referencia cruzada 18. West Da. W

16. Christofordis, K.C., Formasiero, P. Producción de hidrógeno fotocatalitico: una brecha en el futuro suministro de energía. ChemCatChe 14. Arabkhani, P.; Saeedi, N.; Sadeghi, 16. Christofordis, K.C., Formasiero, P. Producción de hidrógeno fotocatalitico: una brecha en el futuro suministro de energía. ChemCatChem 20 sines pos entre de composito de comp

2017, 9, 1523-1544. |Referencia cruzzda]
17. Dong, Siz-Fang akinianoloké Riguas Hestaulas, X Indiudetti Solesia க்யது பிறைவருந்த அதற்குள்ள இருக்கும் இருக்கு கிறுக்கு இருக்கு de**gradagión de prinae de 2000 pale** 1. J 2**012 d**e paga. Madre. Electrón. 2020, 31, 14795—14809. https://doi.org/10.1007/s10854

43, 0/20-04043-W.
16. Christofondis, KC, Fornasiero, P. Producción de hidrógeno fotocatalítico: una brecha en el futuro suministro de energía. ChemCatCh 19. Tayeb, AM; Hussein, DS Síntesis de nanopartículas de TiO2 y su actividad fotocatalítica para el azul de metileno. Soy. 2017, 9, 1523-1544. https://doi.org/10.1002/cctc.201601659.

17. D_{0}^{happre} ; P_{0}^{happre} ; $P_{$

20. Li, Z.; Menceutalizationes. പ്രപ്രത്തെ പ്രവാദ്യ പ്രത്യാവരുന്നു പ്രവാദ്യ പ്രവാദ്

18. Palanisamy, VK; Manoharan, K.; Raman, K.; Sundaram, R. Comportamiento fotocatalítico eficiente impulsado por la luz solar de nanobarras de sulfuro de zinc hacia la degradación del rosa de Bengala. J. Mater. Ciencia. Madre. Electrón. 2020, 31, 14795–14809. [Referencia cruzada]

- 19. Tayeb, AM; Hussein, DS Síntesis de nanopartículas de TiO2 y su actividad fotocatalítica para el azul de metileno. Soy. J. Nanomáter. 2015. 3. 57–63.
- 20. Li, Z.; Meng, X.; Zhang, Z. Desarrollo reciente de la fotocatálisis basada en MoS2: una revisión. J. Fotoquímica. Fotobiol. C Fotoquímica. Rev. 2018. 35. 39–55. [Referencia cruzada]
- 21. Li, Z.; Wang, S.; Wu, J.; Zhou, W. Progresos recientes en fotocatalizadores de TiO2 defectuosos para aplicaciones energéticas y ambientales.

 Renovar. Sostener. Energía Rev. 2022, 156, 111980. [CrossRef]
- 22. Chun-Te Lin, J.; Sopajaree, K.; Jitjanesuwan, T.; Lu, M.-C. Aplicación de luz visible sobre dióxido de titanio dopado con cobre que cataliza la degradación de clorofenoles. Sep. Purif. Tecnología. 2018, 191, 233–243.
- 23. Zhang, H.; Wang, G.; Chen, D.; Lv, X.; Li, J. Ajuste del rendimiento fotoelectroquímico de nanocompuestos de Ag-TiO2 mediante Reducción/Oxidación de Ag. Química. Madre. 2008, 20, 6543–6549. [Referencia cruzada]
- 24. Sol, M.; Wang, Y.; Colmillo, Y.; Sol, S.; Yu, Z. Construcción de compuestos ternarios MoS2/CdS/TiO2 con fotocatalítico mejorado Actividad y Estabilidad. J. Compd. de aleaciones. 2016, 684, 335–341. [Referencia cruzada]
- 25. Dustgeer, señor; Asma, ST; Jilani, A.; Raza, K.; Hussain, SZ; Shakoor, MB; Iqbal, J.; Abdel-wahab, MS; Darwesh, R. Síntesis y caracterización de nuevas películas delgadas monofásicas de Cu2O pulverizadas: actividad estructural, antibacteriana y degradación fotocatalítica del azul de metileno. Inorg. Química. Comunitario. 2021, 128, 108606. [Referencia cruzada]
- 26. Jilani, A.; Iqbal, J.; Rafique, S.; Abdel-wahab, MS; Jamil, Y.; Al-Ghamdi, AA Investigaciones de cambios de estado químico de fotoelectrones morfológicos, ópticos y de rayos X de películas delgadas de ZnO. Optik 2016, 127, 6358–6365. [Referencia cruzada]
- 27. Kumari, A.; Zamán, M.; Kumar, A.; Singh, VR; Ghosh, A.; Sahoo, SK; Rahaman, A.; Mandal, SK; Bhunia, S. Un enfoque alternativo para estudiar el comportamiento fotocatalítico del TiO2 utilizando técnicas espectroscópicas avanzadas basadas en sincrotrón. J. Mater. Ing. Realice 2023, 32, 10391–10401. [Referencia cruzada]
- 28. Shi, Y.; Pequeño.; Xu, Z.; Guo, F.; Li, Y.; Shi, W. El acoplamiento sinérgico de efectos piezoeléctricos y plasmónicos regula la barrera Schottky en nanopartículas de agricultura/ heteroestructura de nanohojas ultrafinas de g-C3N4 para mejorar la actividad fotocatalítica. Aplica. Navegar. Ciencia. 2023, 616, 156466. [Referencia cruzada]
- 29. Di, S.; Guo, S.; Wang, Y.; Wang, W.; Jung, YM; Chen, L.; Wang, L. Efecto de resonancia del plasmón superficial sobre la transferencia de carga en Ag@ Compuestos Cu2O-rGO. Madre. Química. Física. 2023, 301, 127621. [Referencia cruzada]
- Hanafi, MF; Sapawe, N. Efecto de la concentración inicial sobre la degradación fotocatalítica del tinte azul brillante Remazol utilizando Catalizador de níquel. Madre. Hoy Proc. 2020, 31, 318–320. [Referencia cruzada]
- 31. Reza, KM; Kurny, A.; Gulshan, F. Parámetros que afectan la degradación fotocatalítica de tintes utilizando TiO2 : una revisión. Aplica. Ciencia del agua. 2017, 7, 1569–1578. [Referencia cruzada]
- 32. Mansfeldova, V.; Zlamalova, M.; Tarabkova, H.; Janda, P.; Vorojta, M.; Piliai, L.; Kavan, L. Función de trabajo de cristales individuales de TiO2 (anatasa, rutilo y brookita): efectos del medio ambiente. J. Física. Química. C 2021, 125, 1902–1912. [Referencia cruzada]
- 33. Huang, K.; Li, C.; Zheng, Y.; Wang, L.; Wang, W.; Meng, X. Avances recientes en fotocatálisis basada en plata: inhibición de la fotocorrosión, mejora de la respuesta a la luz visible y aceleración de la separación de cargas. Sep. Purif. Tecnología. 2022, 283, 120194.
- 34. Yadav, AA; Hunge, YM; Kang, S.-W. Nanoestructura de óxido de cobre en forma de bola esponjosa modificada por óxido de grafeno reducido para mejorar la producción de hidrógeno fotocatalítico.

 Madre. Res. Toro, 2021, 133, 111026, [Referencia cruzada]
- 35. Wu, D.; Liu, H.; Chen, J.; Liu, W.; Histand, G.; Wang, T. Hidrogeles de grafeno reducido 3D microporosos reticulados integrados en NP de Cu como fotocatalizador para la evolución del hidrógeno.

 J. Ciencia de la interfaz coloidal. 2020, 577, 441–449. [Referencia cruzada]

Descargo de responsabilidad/Nota del editor: Las declaraciones, opiniones y datos contenidos en todas las publicaciones son únicamente de los autores y contribuyentes individuales y no de MDPI ni de los editores. MDPI y/o los editores renuncian a toda responsabilidad por cualquier daño a personas o propiedad que resulte de cualquier idea, método, instrucción o producto mencionado en el contenido.